



Laboratorium EMVO Sp. J. Urbański, Pawelak

ul. Jasna 1  
00-013 Warszawa

tel. +48 22 780 29 64

e-mail: laboratorium@emvo.pl



AB 1630

## Sprawozdanie z pomiarów pól elektromagnetycznych - środowisko ogólne nr 41/07/OŚ/2020 - P4 - W



|                   |   |                          |
|-------------------|---|--------------------------|
| Nr i nazwa stacji | BIA1124   |                          |
| Adres             | Białystok, ul. Jarzebinowa 2A, pow. Białystok, woj. podlaskie |                          |
| Opracowanie       | Marcin Belicki  | Specjalista ds. pomiarów |
| Autoryzacja       | Andrzej Urbański  | Kierownik Laboratorium   |
| Podpis            |   |                          |
| Data              | 2020-07-16  |                          |

## Spis treści

|  |   |
|--|---|
| 1. Informacje ogólne.....  | 3 |
| 2. Podstawa prawna. ....   | 3 |
| 3. Opis pomiarów.....  | 3 |
| 4. Zróżnicowanie dopuszczalne poziomy pól elektromagnetycznych. .... | 4 |
| 5. Charakterystyka źródeł PEM.....                                   | 4 |
| 6. Wyniki pomiarów.....  | 5 |
| 7. Stwierdzenie zgodności .....                                      | 7 |
| 8. Oświadczenie.....   | 7 |
| 9. Spis załączników. ....  | 7 |

## 1. Informacje ogólne.

|  |  |
|--|--|
| Zleceniodawca                                      | P4 sp. z o.o., ul. Taśmowa 7, 02-677 Warszawa<br>osoba udzielająca informacji – Monika Jankowska |
| Istotne informacje dostarczone przez zleceniodawcę | komplet informacji niezbędnych do wykonania pomiarów i opracowania sprawozdania                  |
| Prowadzący instalację                              | P4 sp. z o.o., ul. Taśmowa 7, 02-677 Warszawa  |
| Lokalizacja obiektu                                | Białystok, ul. Jarzebinowa 2A, pow. Białystok, woj. podlaskie                                    |
| Miejsce instalacji anten                           | dach budynku   |
| Miejsce instalacji urządzeń                        | outdoor  |
| Osoby wykonujące pomiar                            | Łukasz Biczuk  |
| Data wykonania pomiaru                             | 2020-07-16   |
| Temperatura na początku pomiaru [°C]               | 21   |
| Temperatura na koniec pomiaru [°C]                 | 22   |
| Warunki atmosferyczne                              | Brak opadów.   |
| Wilgotność na początku pomiaru [%]                 | 68   |
| Wilgotność na koniec pomiaru [%]                   | 69   |
| Inne źródła pól elektromagnetycznych               | brak   |
| Parametry pracy instalacji                         | eksploatacyjne   |

## 2. Podstawa prawna.

### 2.1 Normy i rozporządzenia:

- Rozporządzeniem Ministra Klimatu z dnia 17 lutego 2020 r. w sprawie sposobów sprawdzania dotrzymania dopuszczalnych poziomów pól elektromagnetycznych w środowisku (Dz.U. 2020 poz. 258)
- Rozporządzenie Ministra Zdrowia z dnia 17 grudnia 2019 r. w sprawie dopuszczalnych poziomów pól elektromagnetycznych w środowisku (Dz.U. 2019 poz. 2448)
- Obwieszczenie Marszałka Sejmu Rzeczypospolitej Polskiej z dnia 19 lipca 2019 r. w sprawie ogłoszenia jednolitego tekstu ustawy - Prawo ochrony środowiska (Dz.U. 2019 poz. 1396).

## 3. Opis pomiarów.

|                          |  |
|--------------------------|--|
| Metodologia pomiarowa    | Pomiary w oparciu o Rozporządzeniem Ministra Klimatu z dnia 17 lutego 2020 r. w sprawie sposobów sprawdzania dotrzymania dopuszczalnych poziomów pól elektromagnetycznych w środowisku (Dz.U. 2020 poz. 258).  |
| Cel badań                | Określenie wartości natężenia pola elektrycznego w miejscach dostępnych dla ludności.  |
| Opis zestawu pomiarowego | Miernik Narda NBM 520, Sonda EF 9091, o zakresie pomiarowym 0,8 V/m 300V/m pracująca w paśmie 80 MHz – 90 GHz, świadectwo wydane przez Laboratorium Wzorców i Metrologii Pola Elektromagnetycznego, Instytut Telekomunikacji, Teleinformatyki i Akustyki Politechniki Wrocławskiej, numer świadectwa: LWIMP/W/092/19, świadectwo ważne do 15.03.2021r. Miernik Narda NBM 520, Sonda EF 9091 pracuje w zakresie temperatury -10°C - +50°C oraz wilgotności 5% |

|   |   |
|---|---|
| Wyposażenie pomocnicze                          | - 95%. Niepewność rozszerzona wynosi 58,8% przy poziomie ufności 95% z uwzględnieniem współczynnika rozszerzenia $k=2$ .  |
|   | Termohigrometr Bestone, typ: GM1362-EN-00, nr identyfikacyjny 1222436, świadectwo wzorcowania z dn. 03.04.2017r. wydane przez Laboratorium Pomiarowe "MUTECH".<br>Przymiar wstępowy STABILA, nr seryjny 10721, świadectwo wzorcowania z dn. 19.06.2017r. wydane przez Zespół Laboratoriów wzorcujących Okręgowego Urzędu Miar w Gdańsku.<br>GPS Garmin 64s okresowo sprawdzany w punktach osnowy geodezyjnej klasy 3 na podstawie licencji punktu, zgodnie z procedurą sprawdzeń okresowych IS/PO-16-11/03. |
| Szczególne warunki podczas wykonywania pomiarów | Pomiary wykonane zostały podczas obowiązywania w kraju stanu epidemii, zgodnie z art. 122a ust. 1b Ustawy z dnia 27 kwietnia 2001 r. – Prawo ochrony środowiska (Dz. U. z 2019 r. poz. 1396, z późn. zm.9))   |

#### 4. Zróżnicowanie dopuszczalne poziomy pól elektromagnetycznych.

Zakresy znajdują się w Dzienniku Ustaw z dnia 17 grudnia 2019 r. przedstawione są w tabeli nr 2 (Dz. U. z 2019r. poz. 2448).

| Parametr fizyczny<br>Zakres<br>Częstotliwości pola<br>elektromagnetycznego | Składowa elektryczna E<br>(V/m) | Składowa magnetyczna H<br>(A/m) | Gęstość mocy S<br>(W/m <sup>2</sup> ) |
|--|---------------------------------|---------------------------------|---------------------------------------|
| od 400 MHz do 2000 MHz   | $1,375 \times f^{0,5}$          | $0,0037 \times f^{0,5}$         | $f / 200$                             |
| od 2 GHz do 300 GHz  | 61                              | 0,16                            | 10                                    |

#### 5. Charakterystyka źródeł PEM.

Zgodnie z informacją otrzymaną od Zleceńodawcy pomiary zostały wykonane przy ustawieniach pochylenia anten zgodnych z pkt. 13, ppkt 2 załącznika do rozporządzenia Ministra Klimatu z dnia 17 lutego 2020 roku.

Anteny sektorowe

|                                 |   |                  |     |                  |       |     |
|---------------------------------|---|------------------|-----|------------------|-------|-----|
| Charakterystyka promieniowania  |   | kierunkowa       |     |                  |       |     |
| Rzeczywisty czas pracy [h/dobę] |   | 24               |     |                  |       |     |
| Rodzaj wytwarzanego pola        |   | stacjonarne      |     |                  |       |     |
| Lp                              | Wyszczególnienie                        | sektor 1         |     |                  |       |     |
| I                               | Nadajnik stacji bazowej:                |                  |     |                  |       |     |
| 1                               | Typ / Producent                         | DBS / Huawei     |     |                  |       |     |
| 2                               | Częstotliwość (pasmo) MHz               | 2600             | 800 | 2100             | 1800  | 900 |
| 3                               | Maksymalna moc nadawana na sektor [dBm] | 48,75            | 40  | 46,53            | 46,53 | 40  |
| II                              | Obciążenie:                             |                  |     |                  |       |     |
| 1                               | Typ anteny                              | Huawei ATR4518R6 |     | Huawei ATR4518R6 |       |     |
| 2                               | Producent anteny                        | Huawei           |     | Huawei           |       |     |
| 3                               | Ilość anten                             | 1                |     | 1                |       |     |
| 4                               | Azymut                                  | 135              |     |                  |       |     |
| 5                               | Zakres kątów pochylenia anten [°]       | 0,00-2,00        |     |                  |       |     |
| 6                               | Wysokość zainst. n.p.t. [m]             | 13,05            |     |                  |       |     |
| 7                               | EIRP [W]                                | 4783             |     | 4882             |       |     |

„Bez pisemnej zgody Laboratorium niniejsze sprawozdanie nie może być powielane inaczej, jak tylko w całości. Ponadto wyniki dotyczą tylko badanych obiektów przywołanych w niniejszym sprawozdaniu z badań”

|                                 |   |                  |     |                  |       |     |
|---------------------------------|---|------------------|-----|------------------|-------|-----|
| Charakterystyka promieniowania  |   | kierunkowa       |     |                  |       |     |
| Rzeczywisty czas pracy [h/dobę] |   | 24               |     |                  |       |     |
| Rodzaj wytwarzanego pola        |   | stacjonarne      |     |                  |       |     |
| Lp                              | Wyszczególnienie                        | sektor 2         |     |                  |       |     |
| I                               | Nadajnik stacji bazowej:                |                  |     |                  |       |     |
| 1                               | Typ / Producent                         | DBS / Huawei     |     |                  |       |     |
| 2                               | Częstotliwość (pasmo) MHz               | 2600             | 800 | 2100             | 1800  | 900 |
| 3                               | Maksymalna moc nadawana na sektor [dBm] | 48,75            | 40  | 46,53            | 46,53 | 40  |
| II                              | Obciążenie:                             |                  |     |                  |       |     |
| 1                               | Typ anteny                              | Huawei ATR4518R6 |     | Huawei ATR4518R6 |       |     |
| 2                               | Producent anteny                        | Huawei           |     | Huawei           |       |     |
| 3                               | Ilość anten                             | 1                |     | 1                |       |     |
| 4                               | Azymut                                  | 225              |     |                  |       |     |
| 5                               | Zakres kątów pochylenia anten [°]       | 0,00-3,00        |     |                  |       |     |
| 6                               | Wysokość zainst. n.p.t. [m]             | 13,05            |     |                  |       |     |
| 7                               | EIRP [W]                                | 4783             |     | 4882             |       |     |

|                                 |   |                  |     |                  |       |       |
|---------------------------------|---|------------------|-----|------------------|-------|-------|
| Charakterystyka promieniowania  |   | kierunkowa       |     |                  |       |       |
| Rzeczywisty czas pracy [h/dobę] |   | 24               |     |                  |       |       |
| Rodzaj wytwarzanego pola        |   | stacjonarne      |     |                  |       |       |
| Lp                              | Wyszczególnienie                        | sektor 3         |     |                  |       |       |
| I                               | Nadajnik stacji bazowej:                |                  |     |                  |       |       |
| 1                               | Typ / Producent                         | DBS / Huawei     |     |                  |       |       |
| 2                               | Częstotliwość (pasmo) MHz               | 2600             | 800 | 2100             | 1800  | 900   |
| 3                               | Maksymalna moc nadawana na sektor [dBm] | 50,79            | 43  | 47,78            | 47,78 | 44,77 |
| II                              | Obciążenie:                             |                  |     |                  |       |       |
| 1                               | Typ anteny                              | Huawei ATR4518R6 |     | Huawei ATR4518R6 |       |       |
| 2                               | Producent anteny                        | Huawei           |     | Huawei           |       |       |
| 3                               | Ilość anten                             | 1                |     | 1                |       |       |
| 4                               | Azymut                                  | 310              |     |                  |       |       |
| 5                               | Zakres kątów pochylenia anten [°]       | 0,00-4,00        |     |                  |       |       |
| 6                               | Wysokość zainst. n.p.t. [m]             | 13,05            |     |                  |       |       |
| 7                               | EIRP [W]                                | 7804             |     | 7185             |       |       |

#### Anteny radioliniowe

|                                 |                  |                           |                     |                |                     |            |                        |
|---------------------------------|------------------|---------------------------|---------------------|----------------|---------------------|------------|------------------------|
| Charakterystyka promieniowania  |                  |                           |                     | kierunkowa     |                     |            |                        |
| Rzeczywisty czas pracy [h/dobę] |                  |                           |                     | 24             |                     |            |                        |
| Rodzaj wytwarzanego pola        |                  |                           |                     | stacjonarne    |                     |            |                        |
| Lp                              | Linia radiowa    |                           |                     | Antena         |                     |            |                        |
|                                 | typ/producent    | częstotliwość pracy [GHz] | moc wyjściowa [dBm] | typ/producent  | średnica anteny [m] | azymut [°] | wysokość zainstal. [m] |
| 1                               | OPTIX RTN/HUAWEI | 80                        | 18                  | A80S06H/Huawei | 0,6                 | 301        | 13,55                  |

## 6. Wyniki pomiarów.

Wyniki pomiarów pól elektromagnetycznych dla celów ochrony środowiska przedstawia poniższa tabela. Piony pomiarowe zostały przedstawione w zał. 2.

| Nr PP | Pole-E<br>[V/m] | Pole-E*kE,+U<br>[V/m] | Pole-H<br>[A/m] | Pole-H*kE,+U<br>[A/m] | Wys.<br>pomiaru<br>[m] | Opis pionu                           | Uwagi  | WME   | WMH   |
|-------|-----------------|-----------------------|-----------------|-----------------------|------------------------|--------------------------------------|--|-------|-------|
| 1     | 1,3             | 3,03                  | 0,003           | 0,008                 | 1,4                    | N: 53° 9' 2,47"<br>E: 23° 6' 44,59"  | otoczenie stacji nadawczej - ok. 50 m od obiektu<br>wzdłuż gł. osi promieniowania - GKP  | 0,078 | 0,077 |
| 2     | 1,5             | 3,50                  | 0,004           | 0,009                 | 1,7                    | N: 53° 9' 1,27"<br>E: 23° 6' 46,38"  | otoczenie stacji nadawczej - ok. 100 m od<br>obiektu wzdłuż gł. osi promieniowania - GKP | 0,090 | 0,089 |
| 3     | 1,2             | 2,80                  | 0,003           | 0,007                 | 1,4                    | N: 53° 9' 0,06"<br>E: 23° 6' 48,17"  | otoczenie stacji nadawczej - ok. 150 m od<br>obiektu wzdłuż gł. osi promieniowania - GKP | 0,072 | 0,071 |
| 4     | 1,0             | 2,33                  | 0,003           | 0,006                 | 1,3                    | N: 53° 9' 3,28"<br>E: 23° 6' 39,64"  | otoczenie stacji nadawczej - ok. 50 m od obiektu<br>wzdłuż gł. osi promieniowania - GKP  | 0,060 | 0,059 |
| 5     | 0,8             | 1,87                  | 0,002           | 0,005                 | 1,6                    | N: 53° 9' 2,07"<br>E: 23° 6' 37,84"  | otoczenie stacji nadawczej - ok. 100 m od<br>obiektu wzdłuż gł. osi promieniowania - GKP | 0,048 | 0,047 |
| 6     | 0,8             | 1,87                  | 0,002           | 0,005                 | 1,8                    | N: 53° 9' 0,86"<br>E: 23° 6' 36,05"  | otoczenie stacji nadawczej - ok. 150 m od<br>obiektu wzdłuż gł. osi promieniowania - GKP | 0,048 | 0,047 |
| 7     | 1,3             | 3,03                  | 0,003           | 0,008                 | 1,4                    | N: 53° 9' 5,76"<br>E: 23° 6' 39,51"  | otoczenie stacji nadawczej - ok. 50 m od obiektu<br>wzdłuż gł. osi promieniowania - GKP  | 0,078 | 0,077 |
| 8     | 1,2             | 2,80                  | 0,003           | 0,007                 | 1,6                    | N: 53° 9' 6,85"<br>E: 23° 6' 37,57"  | otoczenie stacji nadawczej - ok. 100 m od<br>obiektu wzdłuż gł. osi promieniowania - GKP | 0,072 | 0,071 |
| 9     | 1,3             | 3,03                  | 0,003           | 0,008                 | 1,6                    | N: 53° 9' 7,95"<br>E: 23° 6' 35,63"  | otoczenie stacji nadawczej - ok. 150 m od<br>obiektu wzdłuż gł. osi promieniowania - GKP | 0,078 | 0,077 |
| 10    | 1,2             | 2,80                  | 0,003           | 0,007                 | 1,9                    | N: 53° 9' 4,84"<br>E: 23° 6' 38,98"  | otoczenie stacji nadawczej - ok. 50 m od obiektu<br>wzdłuż gł. osi promieniowania - GKP  | 0,072 | 0,071 |
| 11    | 1,2             | 2,80                  | 0,003           | 0,007                 | 1,9                    | N: 53° 9' 6,24"<br>E: 23° 6' 37,08"  | otoczenie stacji nadawczej - ok. 100 m od<br>obiektu wzdłuż gł. osi promieniowania - GKP | 0,072 | 0,071 |
| 12    | 1,2             | 2,80                  | 0,003           | 0,007                 | 1,7                    | N: 53° 9' 7,12"<br>E: 23° 6' 34,91"  | otoczenie stacji nadawczej - ok. 150 m od<br>obiektu wzdłuż gł. osi promieniowania - GKP | 0,072 | 0,071 |
| 13    | 0,9             | 2,10                  | 0,002           | 0,006                 | 1,4                    | N: 53° 9' 8,84"<br>E: 23° 6' 37,08"  | otoczenie stacji nadawczej - PKP   | 0,054 | 0,053 |
| 14    | 0,8             | 1,87                  | 0,002           | 0,005                 | 1,7                    | N: 53° 9' 7,66"<br>E: 23° 6' 39,07"  | otoczenie stacji nadawczej - PKP   | 0,048 | 0,047 |
| 15    | 0,9             | 2,10                  | 0,002           | 0,006                 | 1,5                    | N: 53° 9' 5,46"<br>E: 23° 6' 43,89"  | otoczenie stacji nadawczej - PKP   | 0,054 | 0,053 |
| 16    | 0,8             | 1,87                  | 0,002           | 0,005                 | 1,2                    | N: 53° 9' 2,21"<br>E: 23° 6' 47,46"  | otoczenie stacji nadawczej - PKP   | 0,048 | 0,047 |
| 17    | 0,9             | 2,10                  | 0,002           | 0,006                 | 1,5                    | N: 53° 9' 0,77"<br>E: 23° 6' 49,1"   | otoczenie stacji nadawczej - PKP   | 0,054 | 0,053 |
| 18    | 0,8             | 1,87                  | 0,002           | 0,005                 | 2,0                    | N: 53° 8' 59,11"<br>E: 23° 6' 46,41" | otoczenie stacji nadawczej - PKP   | 0,048 | 0,047 |
| 19    | 0,9             | 2,10                  | 0,002           | 0,006                 | 1,7                    | N: 53° 9' 0,58"<br>E: 23° 6' 44,45"  | otoczenie stacji nadawczej - PKP   | 0,054 | 0,053 |
| 20    | 0,8             | 1,87                  | 0,002           | 0,005                 | 2,0                    | N: 53° 9' 1,93"<br>E: 23° 6' 42,72"  | otoczenie stacji nadawczej - PKP   | 0,048 | 0,047 |
| 21    | 0,9             | 2,10                  | 0,002           | 0,006                 | 1,8                    | N: 53° 9' 0,86"<br>E: 23° 6' 39,8"   | otoczenie stacji nadawczej - PKP   | 0,054 | 0,053 |
| 22    | 0,8             | 1,87                  | 0,002           | 0,005                 | 1,5                    | N: 53° 8' 59,93"<br>E: 23° 6' 37,74" | otoczenie stacji nadawczej - PKP   | 0,048 | 0,047 |
| 23    | 0,9             | 2,10                  | 0,002           | 0,006                 | 1,3                    | N: 53° 9' 2,19"<br>E: 23° 6' 35,06"  | otoczenie stacji nadawczej - PKP   | 0,054 | 0,053 |
| 24    | 0,8             | 1,87                  | 0,002           | 0,005                 | 1,3                    | N: 53° 9' 3,74"<br>E: 23° 6' 36,62"  | otoczenie stacji nadawczej - PKP   | 0,048 | 0,047 |
| A     | <0,8*           | -                     | -               | -                     | 1,5                    | -                                    | ul. Jarzębinowa 2A, pomiar na I piętrze przy<br>oknie na klatce schodowej - DPP          | -     | -     |
| B     | 0,8             | 1,87                  | 0,002           | 0,005                 | 1,6                    | -                                    | ul. Jarzębinowa 2, pomiar przed wejściem - DPP   | 0,048 | 0,047 |
| C     | 0,8             | 1,87                  | 0,002           | 0,005                 | 2,0                    | -                                    | ul. Jarzębinowa 4, pomiar przed wejściem - DPP   | 0,048 | 0,047 |
| D     | <0,8*           | -                     | -               | -                     | 1,8                    | -                                    | ul. Jarzębinowa 6, pomiar przed wejściem - DPP   | -     | -     |
| E     | <0,8*           | -                     | -               | -                     | 1,8                    | -                                    | Antoniuk Fabryczny 56, pomiar przed wejściem -<br>DPP                                    | -     | -     |
| F     | 0,9             | 2,10                  | 0,002           | 0,006                 | 1,3                    | -                                    | Antoniuk Fabryczny 56, Biedronka, pomiar przed<br>wejściem - DPP                         | 0,054 | 0,053 |

„Bez pisemnej zgody Laboratorium niniejsze sprawozdanie nie może być powielane inaczej, jak tylko w całości. Ponadto wyniki dotyczą tylko badanych obiektów przywołanych w niniejszym sprawozdaniu z badań”

|   |       |      |       |       |     |   |  |       |       |
|---|-------|------|-------|-------|-----|---|--|-------|-------|
| G | 0,9   | 2,10 | 0,002 | 0,006 | 1,3 | - | Antoniuk Fabryczny 55, pomiar na I piętrze na balkonie - DPP | 0,054 | 0,053 |
| H | 0,8   | 1,87 | 0,002 | 0,005 | 1,4 | - | ul. Szeroka 6, pomiar przed wejściem - DPP                   | 0,048 | 0,047 |
| I | <0,8* | -    | -     | -     | 1,8 | - | ul. Szeroka 6A, pomiar przed wejściem - DPP                  | -     | -     |
| J | <0,8* | -    | -     | -     | 1,3 | - | ul. Szeroka 6B, pomiar przed wejściem - DPP                  | -     | -     |

\* poniżej czułości zestawu pomiarowego

GKP – główne kierunki pomiarowe

PKP – pomocnicze kierunki pomiarowe

DPP – dodatkowe punkty pomiarowe

PP – pion pomiarowy

U – niepewność pomiarowa dla współczynnika rozszerzenia  $k=2$

$k_E$  – poprawka pomiarowa badanej instalacji radiokomunikacyjnej podana przez operatora ( $k_E=1,47$ ),

poprawka pomiarowa w przypadku oddziaływania innych instalacji radiokomunikacyjnych na badany obszar ( $k_E=2,0$ )

WME – wartość wskaźnikowa poziomu emisji pól elektromagnetycznych dla miejsc dostępnych dla ludności dla składowej elektrycznej pola

WMH – wartość wskaźnikowa poziomu emisji pól elektromagnetycznych dla miejsc dostępnych dla ludności dla składowej magnetycznej pola

Przyjęto najniższą dopuszczalną wartość składowej elektrycznej pola dla objętego pomiarami zakresu częstotliwości  $\min(ME_{gr}) = 38,89$  V/m oraz składowej magnetycznej  $\min(MH_{gr}) = 0,105$  A/m.

## 7. Stwierdzenie zgodności

Na podstawie wytycznych podanych w Rozporządzeniu Ministra Zdrowia z dnia 17 grudnia 2019 r. w sprawie dopuszczalnych poziomów pól elektromagnetycznych w środowisku (Dz.U. 2019 poz. 2448) oraz sposobów sprawdzania dotrzymania tych poziomów zgodnie z Rozporządzeniem Ministra Klimatu z dnia 17 lutego 2020 r. w sprawie sposobów sprawdzania dotrzymania dopuszczalnych poziomów pól elektromagnetycznych w środowisku (Dz.U. 2020 poz. 258) dotyczących źródła wymagań, które muszą być spełnione (załącznik do rozporządzenia Ministra Klimatu z dnia 17 lutego 2020 r. (poz. 258)), w oparciu o zasadę podejmowania decyzji zgodną z pkt 26 załącznika do rozporządzenia Ministra Klimatu z dnia 17 lutego 2020 r. (poz. 258), na podstawie wyników pomiarów pól elektromagnetycznych wykonanych w dniu 16.07.2020r. stwierdzono, iż w miejscach dostępnych dla ludności, dopuszczalne poziomy pól elektromagnetycznych w środowisku, określone w przepisach wydanych na podstawie art. 122 ust. 1 ustawy z dnia 27 kwietnia 2001 r. – Prawo ochrony środowiska, uznaje się za dotrzymane w obszarze pomiarowym, w którym w wyniku zastosowania sposobu sprawdzenia dotrzymania dopuszczalnych poziomów pól elektromagnetycznych w środowisku, udokumentowano, że żadna z wartości wskaźnikowych nie przekracza wartości 1.

## 8. Oświadczenie.

Wyniki badania odnoszą się wyłącznie do badanego obiektu.

Bez pisemnej zgody sprawozdanie nie może być powielane inaczej, jak tylko w całości.

Uwagi i zastrzeżenia przyjmowane są w formie pisemnej w ciągu 14 dni od daty otrzymania sprawozdania.

## 9. Spis załączników.

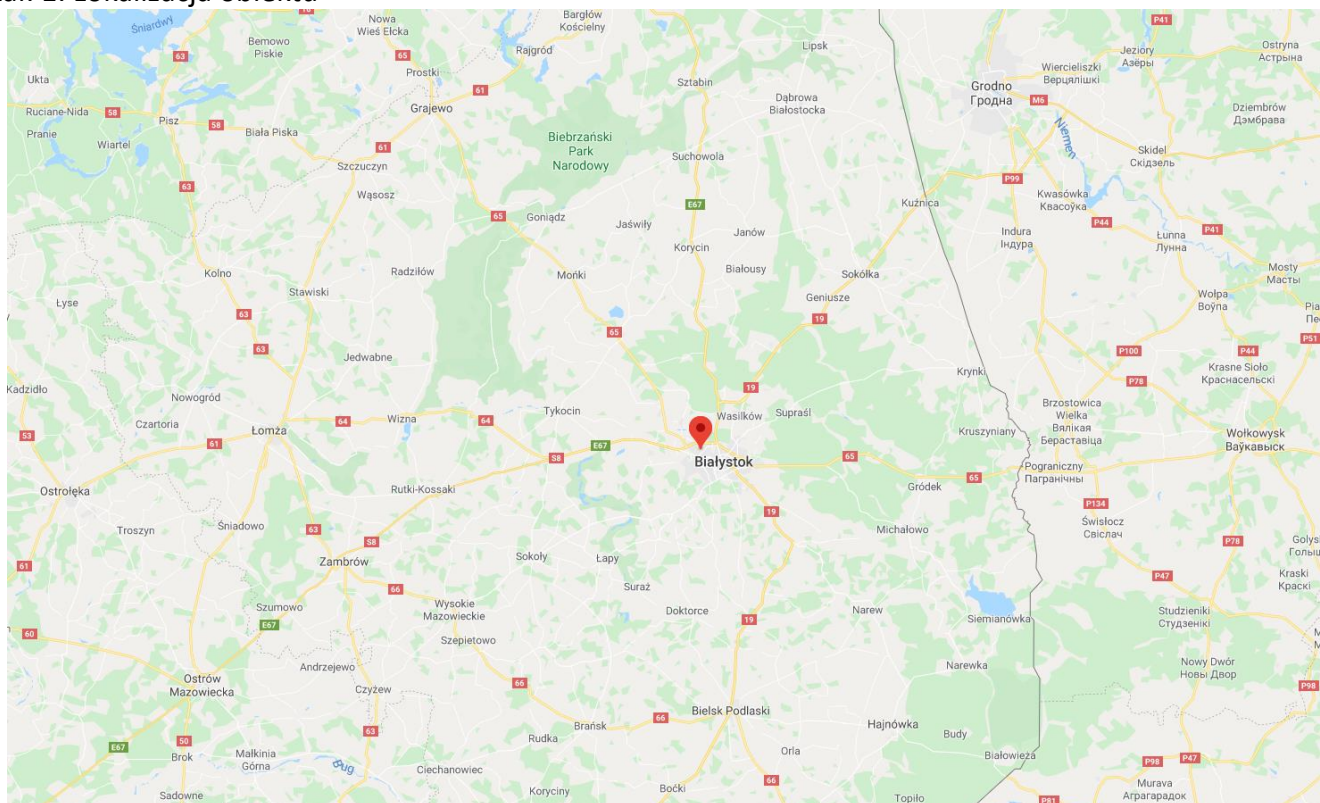
Zał. 1. Lokalizacja obiektu.

Zał. 2. Widok pionów pomiarowych

Zał. 3. Załączniki graficzne.

**Koniec sprawozdania**

## Załącznik 1. Lokalizacja obiektu

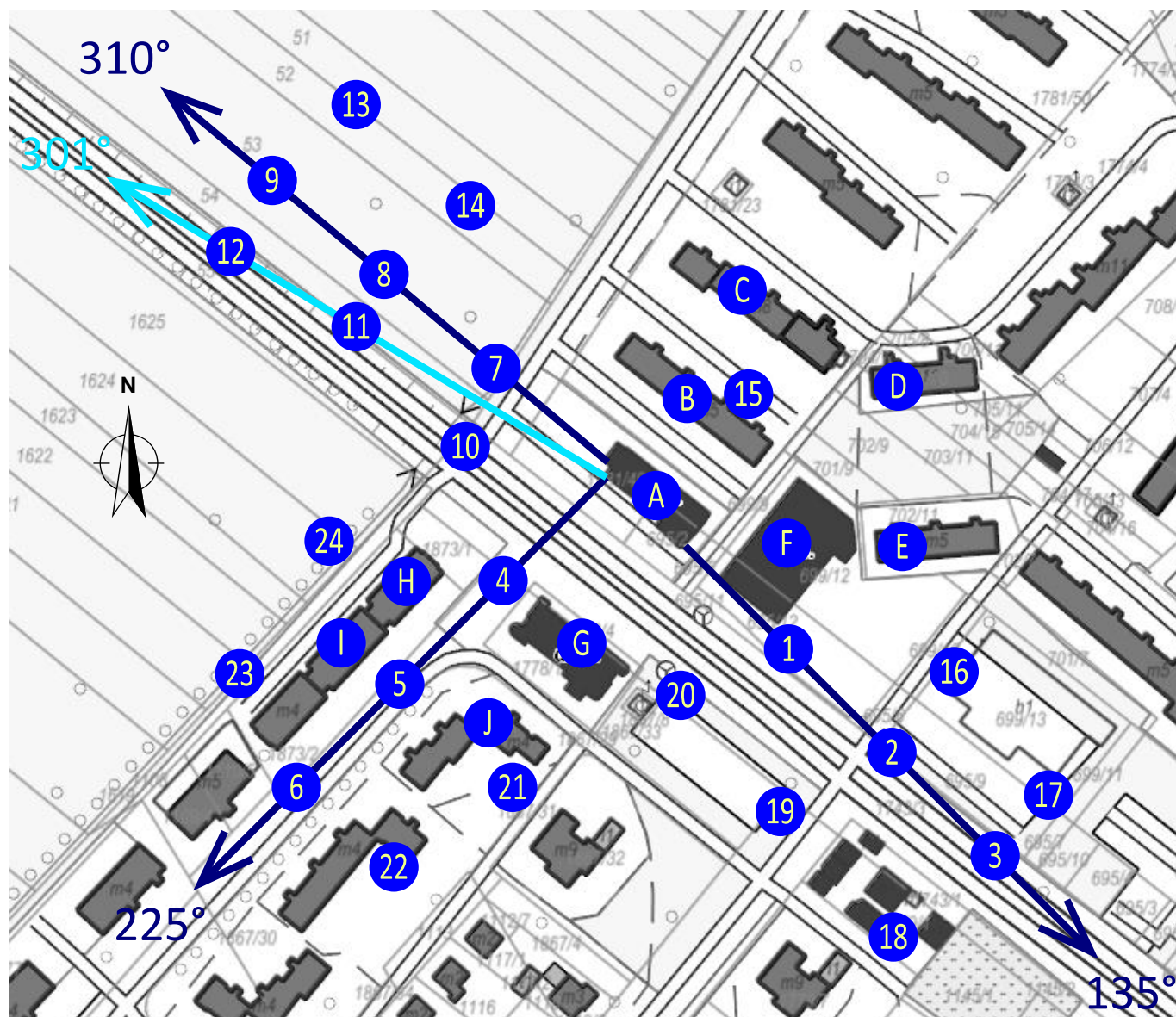


województwo: podlaskie

| Współrzędne geograficzne |                  |
|--------------------------|------------------|
| długość:                 | E: 23° 6' 41,43" |
| szerokość:               | N: 53° 9' 4,48"  |



Załącznik 2. Widok pionów pomiarowych



LEGENDA:



Odległość, do której zostały wykonane pomiary mierząc od instalacji antenowej wynosi min. 131 m.

Skala: 1:2200

### Załącznik 3. Załączniki graficzne.

